

*Н.Л. Казанский*

## ПРОЦЕДУРА КОРРЕКТИРОВКИ ФАЗОВОЙ ФУНКЦИИ ФОКУСАТОРА ПО РЕЗУЛЬТАТАМ ВЫЧИСЛИТЕЛЬНОГО ЭКСПЕРИМЕНТА

Для создания элементов плоской оптики (ЭПО) [1] характерно то, что расчет фазовых характеристик производится геометрическими методами, в то время как исследование структуры световых полей, создаваемых ЭПО, может быть осуществлено лишь в рамках дифракционной модели. Для оценки качества работы ЭПО на этапе проектирования актуальным является вопрос исследования и компенсации дифракционных эффектов, связанных с технологией расчета и изготовления ЭПО.

В данной работе рассматривается задача коррекции фазовой функции фокусатора с повышенной глубиной фокуса с целью компенсировать возникающие вследствие дискретизации радиальной фазовой функции дифракционные эффекты.

## Фокусатор с повышенной глубиной фокуса

На радиально-симметричную оптическую систему (рис. 1) с функцией фазового пропускания  $T(r)$  падает световой пучок с комплексной амплитудой  $E(r)$ . В дальнейшем считается, что оптическая система состоит из классической непрерывной собирающей линзы с фокусным расстоянием  $f_0$  и расположенного вплотную к линзе плоского оптического элемента - фокусатора, концентрирующего излучение в тонкий продольный цилиндр на оптической оси. Функция фазового пропускания фокусатора  $\phi(r)$  определяется системой дифференциальных уравнений [2]:

$$\left. \begin{aligned} b'(r) + \frac{\lambda}{2\pi} \cdot \phi'(r) &= - \frac{r}{\sqrt{r^2 + (f_0 + z(r))^2}} \\ w(z)z'(r) &= B_0^2(r) \cdot 2\pi r \\ z(0) &= 0, z(a) = \kappa \end{aligned} \right\} \quad (1)$$

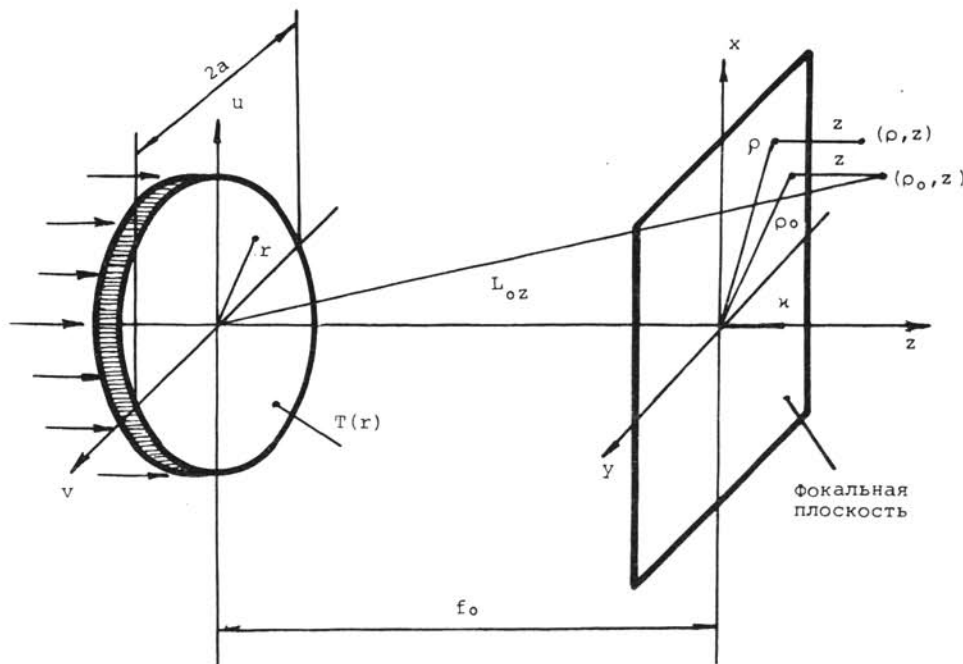


Рис. 1. Оптическая схема работы ЭПО

Здесь ( $r, a$ ) - полярные координаты в плоскости фокусатора и с началом в его центре;  $w(z)$  - линейная плотность мощности на отрезке фокусировки  $[0, \kappa]$ ;  $B_0(r)$  и  $b(r)$  - соответственно амплитуда и фаза падающего на фокусатор светового пучка;  $\lambda$  - длина волны света;  $a$  - радиус фокусатора. При  $f_0 \gg a$  для плоского освещдающего пучка  $E(r)$  и постоянной плотности  $w(z) = \text{const}$  получаем [2]:

$$\phi(r) = \phi_0 - \frac{k}{2c} \ln \left[ 2c \sqrt{r^2 + (f_0 - cr^2)^2} + 2c^2 r^2 + 1 - 2f_0 c \right], \quad (2)$$

где  $c = \kappa/a^2$ ,  $k = 2\pi/\lambda$ .

## Вычислительный эксперимент

Для исследования работы фокусирующих оптических элементов требуется рассчитать создаваемые ими в фокальной области световые поля. При этом необходимо принимать во внимание конечное разрешение  $\delta$  по плоскости ЭПО и конечное число уровней квантования фазы. При использовании для изготовления радиально-симметричных ЭПО фотопостроителей с круговым сканированием величина  $\delta$  определяется минимальной шириной кольца фотоблока, то есть "размером пятна" фотопостроителя. Таким образом, принимаемая модель фазовой функции синтезируемого радиально-симметричного ЭПО имеет вид

$$\hat{\phi}(r) = \sum_{p=1}^N \hat{\phi}_p \cdot \operatorname{rect}\left(\frac{r - r_{p-\frac{1}{2}}}{\delta}\right), \quad (3)$$

где

$N = [a/\delta]$  – суммарное число колец разрешения на оптическом элементе;  
 $\hat{\phi}_p$  – значение фазы на  $p$ -м кольце разрешения ( $p=1, N$ );

$r_{p-\frac{1}{2}} = (p - \frac{1}{2})\delta$  – радиус центра  $p$ -го кольца.

Считая, что  $\delta \gg \lambda$ , воспользуемся для оценки комплексной амплитуды  $w(r, z)$  в точке наблюдения  $(r, z)$ , где  $r = \sqrt{x^2+y^2}$  (см. рис. 1), интегралом Кирхгофа. При условии  $2a \ll f_0$  можно показать [3], что комплексная амплитуда поля  $w(r, z)$  вблизи базовой точки  $(r_0, z)$  представляется в виде суперпозиции полей, созданных отдельными кольцами разрешения  $(r_{p-1}, r_p)$ ,  $p=1, N$ :

$$\hat{w}(r, z) = \frac{k}{iL_{oz}} \cdot \exp \left[ ik(L_{oz} + \frac{r^2 - r_0^2}{2L_{oz}}) \right] \cdot \sum_{p=1}^N E(r_{p-\frac{1}{2}}) : \exp(i\hat{\phi}_p) \int_{r_{p-1}}^{r_p} \exp(-\frac{iq r^2}{2a^2}) \cdot J_0\left(\frac{sr}{a}\right) r dr, \quad (4)$$

где

$$r_p = p \cdot \delta, \quad p=1, N; \quad L_{oz} = \sqrt{(f_0+z)^2 + r_0^2};$$

$$q = -ka^2 \left( \frac{1}{L_{oz}} - \frac{1}{L_0} \right); \quad s = \frac{ka}{L_{oz}}; \quad L_0 = \sqrt{r_0^2 + f_0^2}.$$

Одним из способов вычисления интеграла (4) является метод, использующий функции Ломмеля [4]. При этом поле от каждого кольца разрешения  $r \in [r_{p-1}, r_p]$  представляется в виде разности полей от двух отверстий радиусом  $r_p$  и  $r_{p-1}$  соответственно:

$$\begin{aligned} \hat{w}(r, z) & \sum_{p=1}^{N-1} \left[ E(r_{p-\frac{1}{2}}) \exp(i\hat{\phi}_p) - E(r_{p+\frac{1}{2}}) \exp(i\hat{\phi}_{p+1}) \right] \cdot w_p(r, z) + \\ & + E(r_{N-\frac{1}{2}}) \cdot \exp(i\hat{\phi}_N) \cdot w_N(r, z), \end{aligned} \quad (5)$$

где

$w_p(\rho, z)$  - комплексная амплитуда светового поля, созданного в точке наблюдения отверстием радиуса  $r_p$ ,  $p=1, N$ .

Как показано в работе [4], для  $w_p(\rho, z)$  имеет место формула

$$w_p(\rho, z) = \frac{k r_p^2}{i q_p} \exp \left[ ik(L_{oz} + \frac{\rho^2 - \rho_0^2}{2L_{oz}}) \right].$$

$$\cdot \begin{cases} \exp \left( \frac{i q_p}{2} \right) \cdot U_1(q_p, s_p) + i \exp \left( - \frac{i q_p}{2} \right) U_2(q_p, s_p) & \text{при } \left| \frac{q_p}{s_p} \right| \leq 1, \\ -i \exp \left( \frac{s_p^2}{2q_p} \right) + \exp \left( \frac{i q_p}{2} \right) V_0(q_p, s_p) - \exp \left( - \frac{i q_p}{2} \right) V_1(q_p, s_p) & \end{cases} \quad (6)$$

$$\text{при } \left| \frac{q_p}{s_p} \right| > 1,$$

где

$$q_p = -k r_p^2 \left( \frac{1}{L_{oz}} - \frac{1}{L_o} \right), \quad s_p = \frac{k r_p \rho}{L_{oz}}.$$

$U_n$  и  $V_n$  - функции Ломмеля [4].

## Результаты вычислительного эксперимента

Алгоритмы расчета дифракционного интеграла реализованы в виде комплекса программ для ЕС ЭВМ, сопряженного с пакетом прикладных программ обработки изображений и цифровой голографии [5] и комплексом графических программ ГРАФОР. Осуществленный с помощью разработанного программного средства вычислительный эксперимент с фокусатором в тонкий продольный цилиндр на оптической оси выявил следующие характерные особенности распределения света:

- вытянутая фокальная область с глубиной  $\sim (0,7 \div 0,9) \mu$ ;
- спад интенсивности к концам "отрезка фокусировки";
- значительные перепады интенсивности вдоль отрезка  $[0, \mu]$ , обусловленные дифракционными эффектами на кольцевой структуре фокусатора.

На рис. 2 представлены изофоты распределения света в фокальной области фокусатора с повышенной глубиной фокуса с параметрами:  $f_o = 300 \text{ мм}$ ,  $\lambda = 0,633 \text{ мкм}$ ,  $a = 12,8 \text{ мм}$ ,  $\mu = 15 \text{ мм}$ ,  $N = 128$ . График распределения интенсивности вдоль оптической оси для тех же параметров фокусатора - кривая б на рис. 3. Нормировка произведена на значение интенсивности в фокусе объектива. Среднеквадратичное отклонение интенсивности вдоль "отрезка фокусировки" составляет  $0,374$ , а максимальное отклонение  $\Delta I/\bar{I} = 0,9$ , где  $\bar{I}$  - среднее значение интенсивности вдоль отрезка.

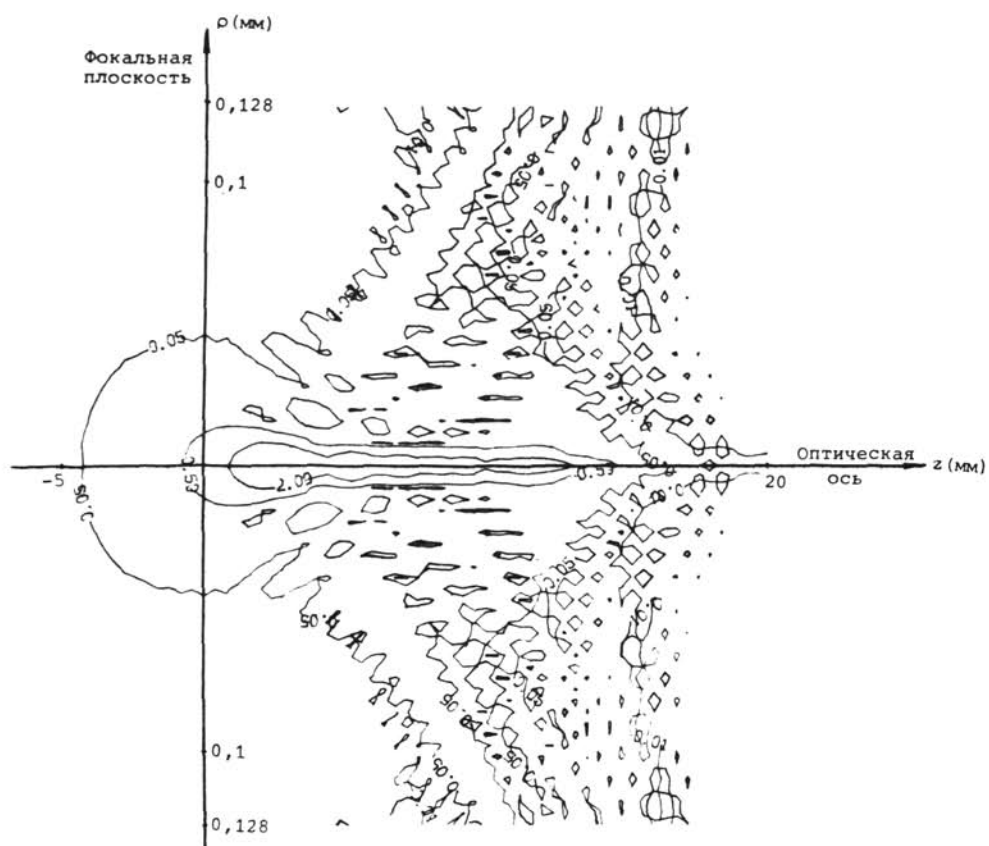


Рис. 2. Изофоты трехмерного распределения интенсивности  $I(z, \rho)/I(0,0)$  в фокальной области фокусатора с повышенной глубиной фокуса  $\kappa = 15$  мм при  $f_0 = 300$  мм,  $a = 12,8$  мм,  $\lambda = 0,633$  мкм,  $N = 128$

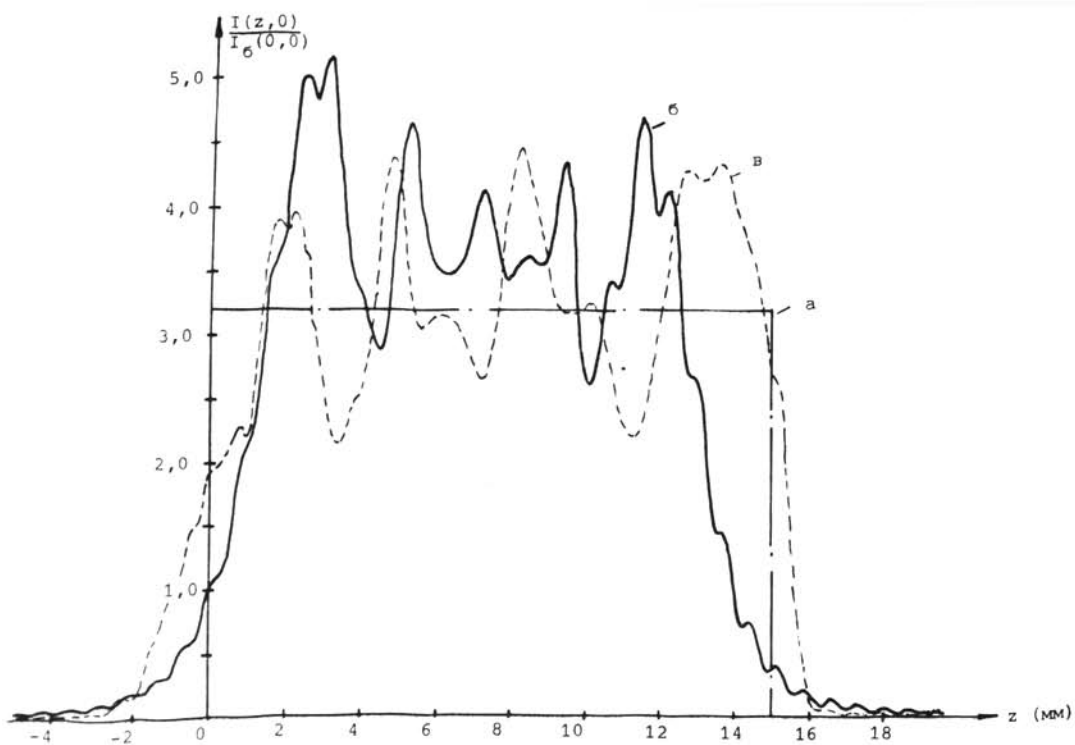


Рис. 3. Распределение интенсивности  $I(z,0)/I(0,0)$  вдоль оптической оси:  
а - "идеальный фокусатор", б - фокусатор (2), в - фокусатор  
с корректированной фазовой функцией

## Процедура корректировки

Анализ результатов вычислительного эксперимента приводит к необходимости корректировки фазовой функции фокусатора на основе полученных распределений интенсивности света. Для этого разработан алгоритм и написана программа расчета оптического элемента, концентрирующего излучение в тонкий продольный цилиндр на оптической оси с заданным распределением энергии вдоль него. Алгоритм расчета построен на численном решении системы (1) для произвольного  $w(z)$ . Реализованная итерационная процедура корректировки фазовой функции фокусатора заключается в формировании нового  $w(z)$  на основании данных вычислительного эксперимента на предыдущем шаге:

$$w_{k+1}(z) = w_k(z) + h \cdot (\bar{I}_k - I_k(z, 0)), \quad z \in [0, u]. \quad (7)$$

Здесь  $w_k(z)$  ( $w_{k+1}(z)$ ) - линейная плотность мощности, используемая при расчете фокусатора на  $k$ -той ( $k+1$ -й) итерации;  $\bar{I}_k(z, 0)$  и  $I_k$  - полученные в результате вычислительного эксперимента на  $k$ -той итерации соответственно распределение интенсивности и среднее значение интенсивности вдоль отрезка  $[0, u]$ ;  $h$  - оптимизируемый параметр, выбирается таким образом, чтобы минимизировать среднеквадратичное отклонение интенсивности вдоль отрезка

$$\epsilon_{k+1} = \sqrt{\frac{\int_0^u (\bar{I}_{k+1} - I_{k+1}(z, 0))^2 dz}{u \bar{I}_{k+1}^2}}. \quad (8)$$

Исследователь может вмешиваться в ход вычислительного эксперимента, прерывая его в случае появления на экране дисплея приемлемого результата. Кривая в на рис. 3 - распределение интенсивности, полученное в результате трех шагов итерационной процедуры. При снижении среднего уровня интенсивности с 3,21 до 3,05, то есть менее чем на 5%, достигнуто среднеквадратичное отклонение интенсивности 0,26 и максимальное отклонение интенсивности от среднего  $\Delta I/\bar{I} = 0,53$ .

## Заключение

Вычислительный эксперимент, основанный на предложенных дифракционных соотношениях и разработанных программных средствах, позволяет не только визуализировать и количественно проанализировать сложные распределения светового поля от плоских оптических элементов, но и создать корректирующую процедуру для оптимизации фазовой функции фокусатора с повышенной глубиной фокуса.

Результаты вычислительного эксперимента позволяют перейти к синтезу соответствующих ЭПО и их экспериментальному исследованию в оптической системе.

## Л и т е р а т у р а

1. Сисакян И.Н., Соффер В.А. Тонкая оптика, синтезируемая на ЭВМ. - В кн.: Физические основы и прикладные вопросы голографии. - Л.: ЛИЯФ, 1984, с. 142-164.
  2. Голуб М.А., Прохоров А.М., Сисакян И.Н., Соффер В.А. Машинный синтез оптических компенсаторов для получения асферических волновых фронтов. Препринт ФИАН СССР, № 29, М., 1981.
  3. Васин А.Г., Голуб М.А., Данилов В.А., Казанский Н.Л., Карпев С.В., Сисакян И.Н., Соффер В.А., Уваров Г.В. Расчет и исследование когерентного волнового поля в фокальной области радиально-симметричных оптических элементов. Препринт ФИАН СССР, № 304, М., 1983.
  4. Борн М., Вольф Э. Основы оптики. - М.: Наука, 1973.
  5. Пакет прикладных программ обработки изображений и цифровой голографии. - Государственный фонд алгоритмов и программ. Регистрационный № П004582 от 1.09.1980.
-